

فلور آمیستی درختان زینتی شهرستان شیراز

دریافت: ۱۳۹۸/۰۳/۲۹ / پذیرش: ۱۳۹۷/۱۱/۱۶

فاطمه سلمانی‌نژاد: دانشجوی دکتری بیماری‌شناسی گیاهی، بخش گیاه‌پزشکی، دانشکده کشاورزی دانشگاه شیراز، شیراز ۷۱۴۴۱۶۵۱۸۶، ایران

رضا مستوفی‌زاده قلمفرسا✉: استاد بیماری‌شناسی گیاهی، بخش گیاه‌پزشکی، دانشکده کشاورزی دانشگاه شیراز، شیراز ۷۱۴۴۱۶۵۱۸۶، ایران (rmmostofi@shirazu.ac.ir)

چکیده

به منظور بررسی فلور آمیستی همراه با درختان زینتی شیراز، طی سال‌های ۱۳۹۶–۹۷ از خاک و بقایای برگ درختان زینتی از بوستان‌ها و فضای سبز شهرستان شیراز (شامل ۱۱ منطقه) نمونه‌برداری صورت گرفت. براساس واکاوی‌های ریخت‌شناختی، ریخت‌سنجدی و فیزیولوژیک سه گونه *Phytophthora* شامل **Ph. capsici*, *Ph. cactorum* و *Ph. nicotianae* و *Pp. vexans* و *Pp. palingenes*^{†*}, *Pp. ostracodes*, *Pp. oedochilum*^{*}, *Pp. litorale*, *Phytophytium* پنج گونه *Py. hydnosporum*^{*}, *Py. echinulatum*, *Py. catenulatum*^{*}, *Py. aphanidermatum*^{*} و *Py. oligandrum*, *Py. nunn*, *Py. middletonii*, *Py. megalacanthum*[†], *Py. kashmirensse*, *Py. irregularare*^{*}, *Py. sylvaticum*[†] شناسایی شد. آرایه‌های ستاره‌دار فراوان ترین آرایه‌های همراه با درختان زینتی شهرستان شیراز بودند. همچنین، آرایه‌های با علامت چلیپا برای میکووبیوتای ایران جدید هستند.

واژه‌های کلیدی: پیتیوم، ریخت‌سنجدی، ریخت‌شناسی، فیتوپیتیوم، فیتوفترای

Oomyceteous flora of ornamental trees of Shiraz County (Iran)

Received: 05.02.2019 / Accepted: 19.06.2019

Fatemeh Salmaninezhad: PhD Candidate, Department of Plant Protection, School of Agriculture, Shiraz University, Shiraz 7144165186, Iran

Reza Mostowfizadeh-Ghalamfarsa✉: Prof., Department of Plant Protection, School of Agriculture, Shiraz University, Shiraz 7144165186, Iran (rmmostofi@shirazu.ac.ir)

Summary

In order to investigate the oomyceteous flora associated with ornamental trees of Shiraz County (Iran), during 2017–18, rhizosphere soil and plant debris of ornamented trees from various parks and green spaces of Shiraz County (including 11 districts) were sampled. Based on morphological, morphometrical and physiological analyses, three *Phytophthora* species, namely, *Ph. cactorum*^{*}, *Ph. capsici*, and *Ph. nicotianae*^{*}, five *Phytophytium* species including *Pp. litorale*, *Pp. oedochilum*^{*}, *Pp. ostracodes*, *Pp. palingenes*^{†*}, and *Pp. vexans*, and 11 *Pythium* species including *Py. aphanidermatum*^{*}, *Py. catenulatum*^{*}, *Py. echinulatum*, *Py. hydnosporum*^{*}, *Py. irregularare*^{*}, *Py. kashmirensse*, *Py. megalacanthum*[†], *Py. middletonii*, *Py. nunn*, *Py. oligandrum*, and *Py. sylvaticum*[†] were identified. Taxa with asteric were predominant and species with dagger sign were new to Iran mycobiota.

Keywords: Morphology, Morphometry, *Phytophthora*, *Phytophytium*, *Pythium*

مقدمه

پیش از این در ایران، بررسی فلور آمیستی در مورد شالیزارهای برنج استان فارس انجام شده است (Salmaninezhad & Mostowfizadeh-Ghalamfarsa 2017a). همچنین، گزارش‌هایی نیز در مورد گونه‌های بیمارگر آمیستی همراه با برخی درختان و درختچه‌ها که گاه به صورت زینتی در فضاهای شهری کشور کشت می‌شوند، وجود دارد. به عنوان مثال *Phytophthora nicotianae* Breda de Haan (روی اقاچia *Cupressus arizonica* (Robinia hispida L.)، سرو نقره‌ای (*Pinus elderica* Tenore) و کاج ایرانی (Greene Mirabolfathy & Ershad 1996; Mirabolfathy & Ershad 1998; Ranjbaran et al. 2006 *Ph. drechsleri* Tucker (1998; *Ph. megasperma* (Mirabolfathy & Ershad 1996)، اقاچia (*Ph. citrophthora* Leonian Drechsler 1997) گزارش شده است. با این حال، تاکنون در هیچیک از شهرستان‌های ایران بررسی جامعی در مورد فلور آمیستی همراه با درختان زینتی صورت نگرفته است. در این پژوهش با استفاده از ویژگی‌های ریخت‌شناختی، ریخت‌سنجدی و فیزیولوژیک، گونه‌های آمیستی همراه با درختان زینتی شهرستان شیراز شناسایی و تعیین پراکنش گردید.

روش بررسی

- نمونه‌برداری، جدادسازی و نگهداری جدایه‌ها نمونه‌برداری از خاک و بقایای برگ درختان زینتی شامل ارغوان (*Cercis siliquastrum* L.), افرا (*Acer saccharinum* L.), افرا برگ چناری (*Acer pseudoplatanus* L.), اقاچia (*Eucalyptus obliqua* L'Hér), اکالیپتوس (*Robinia* spp.), سالیک بو (*Salix* sp.), بلوط (*Laurus nobilis* L.), پلاتانوس (*Platanus* sp.), بید مجnoon (*Salix babylonica* L.), چنار (*alba* L.), پیراکانتا (*Pyracantha coccinea* Roem), توت (*orientalis* L.), توت مجnoon (*Morus nigra* L.), توئی (*Morus alba* L.), نریوم (*Nerium*), خرزهره (*Lagerstroemia anisoptera* Koehne), زبان‌گنجشک (*Celtis australis* L.), داغداغان (*oleander* L.), فرانکنوس (*Fraxinus excelsior* L.), سرو تبری (*Cupressus sempervirens* L.), سرو زربین (*Cupressus sempervirens* L.), شیرازی (*Cupressus sempervirens* L.), سرو لاؤسون شیرازی (*Chamaecyparis lawsoniana* Parl), سرو نقره‌ای، شیشه‌شور پولپوس (*Populus*), صنوبر (*Callistemon citrinus* Dum. Cours), ععر (*Ailanthus altissima* Swingle), کاج (*tremula* L.), کاج ایرانی (*Pinus mugo* (Medw.)), کاج توبی (*Pinus edarica* Medw.).

امروزه نقش گیاهان، درختان و فضاهای سبز شهری در بهبود کیفیت سلامت زندگی انسان‌ها بر کسی پوشیده نیست. بنابراین، حفاظت از فضای سبز از اهمیت ویژه‌ای برخوردار است. درختان و گیاهان فضای سبز مورد حمله طیف وسیعی از آفات و بیماری‌ها قرار می‌گیرند (Alilobonab et al. 2016). در سال‌های اخیر، گزارش‌های متعددی از وجود گونه‌های مختلف آمیستی از جمله گونه‌های مربوط به جنس‌های *Phytophthora* az *Pythium* و *Phytophytium* متعددی مانند انواع گیاهان گلخانه‌ای، درختان میوه و زینتی و حتی آبهای آبیاری گزارش شده است (Abad et al. 2017). (Yang et al. 2017).

اعضای شاخه *Oomycota* اغلب دارای توان پوده‌رسی هستند (Marano et al. 2014). این اعضا شامل گونه‌های موجود در جنس‌های *Pythium*, *Phytophthora*, *Phytophytium* می‌شوند (Marano et al. 2015). این سه جنس از نظر ریخت‌شناختی شباهت زیادی به یکدیگر دارند و از نظر فیلوجنتیکی نیز با هم مرتبط هستند.

گونه‌های جنس *Pythium* Pringsh. تولید شکل‌های مختلفی از اسپورانژیوم (رشته‌ای، آماسیده، درختی، گرد، تخم مرغی و گلابی شکل) می‌کنند. مهم‌ترین ویژگی این جنس، تمایز زئوسپور درون وزیکول است که آن را از سایر جنس‌های آمیستی به خوبی تفکیک می‌کند (Plaëts-Niterink 1981).

گونه‌های جنس *Phytophthora* de Bary با داشتن اسپورانژیوم‌های گرد تا تخم مرغی و آزادسازی مستقیم زئوسپور درون اسپورانژیوم از سایر گونه‌های آمیستی تفکیک می‌شوند (Erwin & Ribeiro 1996, Yang et al. 2017).

Phytophytium Abad, de Cock, Bala, جنس *Phytophytium* Robideau, Lodhi & Lèvesque یک جنس جدید است که سابقاً گونه‌های آن در *Pythium* جای داشت (Bala et al. 2010). طبق واکاوی‌های فیلوجنتیکی لاوسک و دکاک (Lèvesque & de Cock 2004)، گونه‌های *Phytophytium* تبار کوچکی (K) را درون جنس *Pythium* تشکیل می‌دهند که شامل برخی گونه‌های توصیف شده جنس *Pythium* است. اعضای این تبار دارای خصوصیات مابین جنس‌های *Phytophthora* و *Pythium* معنی داشتن اسپورانژیوم‌های گرد، گلابی تا تخم مرغی، دارای افزوش داخلي شبیه جنس *Phytophthora* و تمایز زئوسپور درون وزیکول شبیه جنس *Pythium* هستند (de Cock et al. 2015).

به دست آمده سه گونه *Phytophthora* شامل: *Ph. cactorum* (Lebert & Cohn) J. Schröt. و *Ph. capsici* Leonian (Lebert & Cohn) J. Schröt. *Phytopythium* پنج گونه *Ph. nicotianae* Breda de Haan *Pp. litorale* (Nechw.) Abad, de Cock, Bala, شامل *Pp. ostracodes* (Drechsler) Robideau, Lodhi & Lévesque Abad, de Cock, Bala, Robideau, Lodhi & Lévesque *Pp. oedochilum* Abad, de Cock, Bala, Robideau, Lodhi & *Pp. palingenes* Abad, de Cock, Bala, Lévesque *Pp. vexans* (de Bary) Robideau, Lohdi & Lévesque و Abad, de Cock, Bala, Robideau, Lodhi & Lévesque *Py. aphanidermatum* Fitzp *Py.* ۱۱ *Py. echinulatum* Matthews *catenulatum* Matthews *Py. irregularare* *Py. hydnosporum* (Mont.) J. Schröt. *Py. megalacanthum* de *Py. kashmirensis* Paul Buisman *Py. nunn* Lifsh., Stangh. *Py. middletonii* Sparrow, Bary *Py. sylvaticum* و *Py. oligandrum* Drechsler & Baker Campbell & Hendrix از نظر ریخت‌شناختی مورد شناسایی قرار گرفتند. سایر جدایه‌های به دست آمده از این پژوهش، تولید هیچ گونه ساختار تولیدی‌مثلی جنسی یا غیرجنسی نکردند و تنها در محیط کشت تولید ریسه با انشعابات زیاد نمودند. ویژگی‌های ریخت‌شناختی، ریخت‌سنگی و فیزیولوژیک جدایه‌ها در جداول ۲ تا ۴ آمده است. گونه‌های *Pp. palingenes* نیز برای میکوبیوتای ایران جدید هستند. تمامی جدایه‌های به دست آمده در این پژوهش، در مجموعه قارچ‌شناسی بخش گیاه‌پژوهشی دانشکده کشاورزی دانشگاه شیراز نگهداری می‌شوند. ویژگی‌های ریخت‌شناختی و ریخت‌سنگی گونه‌هایی که برای ایران جدید هستند، در ادامه آورده شده است:

Phytopythium palingenes (Drechsler) Abad, de Cock, Bala, Robideau, Lohdi & Lévesque جدایه‌های مربوط به این گونه از درختان عرعر، سرو، شیرازی، کاج تهران، اکالیپتوس و نخل شاهراه از نقاط مختلف شهرستان شیراز به دست آمدند (جدول ۱). الگوی رشد پرگنه روی محیط کشت‌های PDA به صورت گل‌سرخی، روی HSA به صورت حدواتسط شعاعی و گل‌داوودی و روی CMA، CA و MEA فاقد الگوی رشد مشخص بود (جدول ۲). قطر ریسه اصلی به ۶/۵ میکرومتر می‌رسید. اسپورانژیوم معمولاً انتهایی به شکل نیمه‌گرد یا تخم‌مرغی، با ابعاد معادل 47×39 میکرومتر، اغلب دارای یک پستانک بسیار کوتاه، گاهی فاقد

(Turra), کاج تهران (*Pinus brutia* Tenore), مانگولیا (*Citrus aurantium* L.), نارنج (*Magnolia virginiana* L.) نارون (*Ulmus boissieri* Grudz)، نخل بادبزنی (*Chamaerops humilis* L.) و (*Phoenix canariensis* Chabaud) (*Rosa canina* L.) از بوستان‌ها و فضای سبز مناطق یک تا ۱۱ شهرستان شیراز، به طور کاملاً تصادفی انجام گرفت. نمونه‌های به دست آمده، برای بررسی‌های بعدی به بخش گیاه‌پژوهشی دانشکده کشاورزی دانشگاه شیراز منتقل شدند. جداسازی از خاک با استفاده از روش طعمه‌گذاری با برگ Tan et al. (1992) و برگ چمن (Banihashemi et al. 1996) و از گیاه به روش توصیه شده توسط گانل و وبستر (Gunnell & Webster 1988) با استفاده از محیط کشت (Jeffers & Martin 1968) CMA-PARP به دست آمده به روش نوکریسه، خالص شده (Tuit 1969). برای نگهداری به لوله‌های حاوی محیط کشت عصاره ذرت-آگار در ۱۵ درجه سلسیوس منتقل شدند.

- شناسایی جدایه‌ها

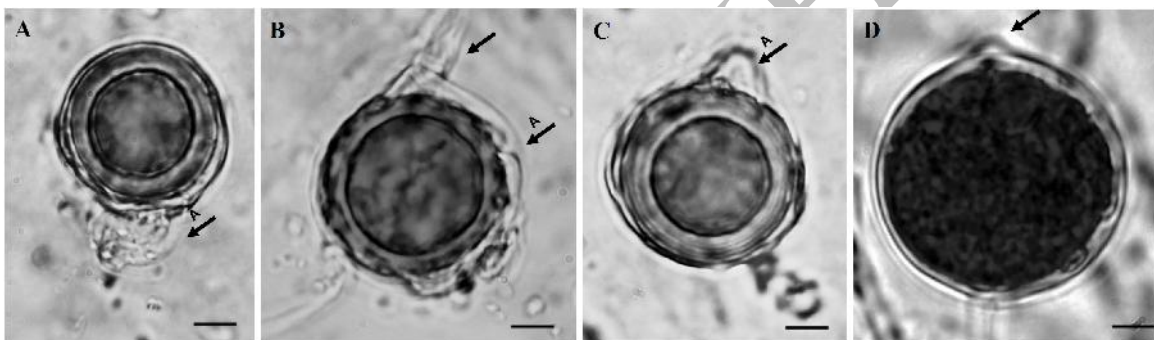
شناسایی جدایه‌ها با استفاده از کلیدهای شناسایی موجود (Van der Plaats-Niterink 1981, Gallegly & Hong 2008, Huang et al. 2013; Abdul Baten et al. 2014, de Cock et al. 2015; Jesus et al. 2016) و سایر مقاله‌های معتبر براساس ویژگی‌های ریخت‌شناختی، ریخت‌سنگی و فیزیولوژیک انجام گرفت. شناسایی گونه‌ها براساس ویژگی‌های اندام‌های جنسی (شامل شکل و ترتیبات سطح آگونیوم، نوع اتصال آنتریدیوم به آگونیوم و نوع آسپیور) و همچنین، اندام‌های غیرجنسی (شامل نوع اسپورانژیوم و وجود یا عدم وجود آماس ریسه)، سرعت رشد در دماهای مختلف (از پنج تا ۴۵ درجه سلسیوس به فواصل دمایی ۵ درجه سلسیوس) و ریخت‌شناصی پرگنه روی محیط کشت‌های مختلف شامل عصاره ذرت-آگار (CMA)، عصاره هویج-آگار (CA)، عصاره مخمر-آگار (MEA)، عصاره شاهدانه-آگار (HSA) و عصاره سیب‌زمینی دکستروز-آگار Mostowfizadeh-Ghalamfarsa & Banihashemi (PDA) (2005) انجام شد.

نتیجه و بحث

حاصل نمونه‌برداری طی سال‌های ۱۳۹۶-۹۷ از خاک و بقایای برگ درختان زینتی از بوستان‌ها و فضای سبز شهرستان شیراز ۵۱۲ جدایه مربوط به جنس‌های *Phytophthora* و *Pythium* پود (جدول ۱). با توجه به داده‌های

شد. خصوصیات گفته شده با توصیف اولیه این گونه (Plaăts- Niterink 1981) تطابق داشت. این گونه نخستین بار توسط درشلر (Drechsler 1930) توصیف شد، اما در سال ۲۰۱۵ توسط دیک و همکاران (de Cock *et al.* 2015) به جنس *Phytopythium* منتقل شد. این گونه تشابه زیادی با گونه *Pp. helicoides* در ریخت‌شناختی دارد، اما تولید اسپورانژیوم‌های منظم و بدون شیار (بدون موج) می‌کند (پلاتس-نیترینک ۱۹۸۱). از آنجا که جدایه‌های این گونه از بافت‌های پوسیده طوقه و ریشه عرع و اکالیپتوس و خاک درخت سرو نقره‌ای دارای پوسیدگی طوقه در این پژوهش به دست آمدند، به احتمال قوی این گونه بیمارگر درختان مذکور است، ولی با این حال استفاده از اصول کخ برای اثبات بیماری‌زاوی این جدایه‌ها الزامی خواهد بود.

پستانک، گاهی دارای افزولش داخلی یا دارای لوله تخیله به طول ۵۰ میکرومتر بود. آگونیوم به صورت انتهایی، با دیواره صاف، گاهی بدون پایه، بین‌ریسه‌ای یا با اتصال جانبی، اغلب به صورت انتهایی، گرد تا نزدیک به کروی با قطر ۴۰ میکرومتر مشاهده شدند. به ازای هر آگونیوم، یک تا ۳ آنتریدیوم به صورت تکین و دوین وجود داشت. پایه آنتریدیوم و نیز ریسه رویشی معمولاً به دور پایه آگونیوم می‌پیچید. سلول‌های آنتریدیومی به صورت استوانه‌ای بودند و معمولاً به صورت موج دار یا نامنظم و پهن به آگونیوم متصل می‌شدند. ابعاد آنتریدیوم ۲۰ در ۴ میکرومتر بود. آسپورها به صورت نزدیک به کروی، ناپرساز با قطر ۲۸ میکرومتر با دیواره‌ای به ضخامت ۴ میکرومتر مشاهده شدند (جدول ۳، شکل ۱). میزان رشد روزانه پرگنه در ۲۵ درجه سلسیوس روی محیط کشت CMA ۰/۱ میلی‌متر بود. دمای کمینه ۲۰، بهینه ۳۵ و بیشینه ۴۰ درجه سلسیوس اندازه‌گیری



شکل ۱- ریخت‌شناختی *Phytopythium palingenes* (جدایه GbEu1a) جدا شده از شهرستان شیراز: A-C: ساختارهای جنسی: آسپور انتهایی با یک عدد آنتریدیوم پیچ‌خورده به دور پایه آگونیوم و اتصال به صورت پراماده و تکین، B. آگونیوم بین‌ریسه‌ای و پیچ‌خوردگی مشخص آنتریدیوم به دور پایه آگونیوم به همراه اتصال پهن آنتریدیوم به آگونیوم، C. آسپور ناپرساز با آنتریدیوم پراماده، D. اسپورانژیوم تخم مرغی (مقیاس = ۱۰ میکرومتر).

Fig. 1. Morphology of *Phytopythium palingenes* (GbEu1a) isolated from Shiraz County, Iran: A-C: Sexual structures: A. Terminal oospore with one paragynous and monoclinous antheridia which is wrapping around oogonial stalk, B. Intercalary oogonium with antheridial stalk wrapping around oogonial stalk and broad attachment to oogonium, C. Aplerotic oospore with paragynous antheridium, D. Ovoid sporangium (Bar = 10 µm).

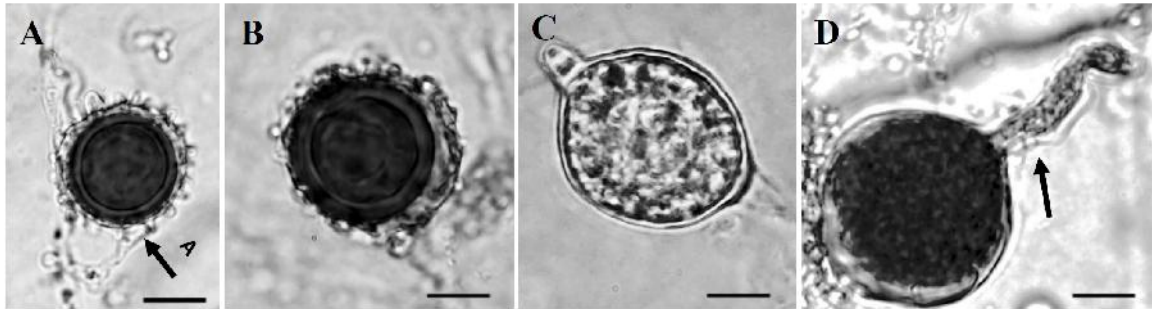
معمولًا دارای پستانک و ندرتاً دارای افزولش داخلی بود. تشکیل زئوپسورها در ۲۵ درجه سلسیوس رخ داد. آگونیوم به صورت انتهایی تا بین‌ریسه‌ای، کروی تا نزدیک به کروی، با ابعاد ۳۵ میکرومتر، دارای تزیینات تقریباً مخروطی شکل به طول ۵ و قطر ۲/۵ میکرومتر وجود داشت. به ازای هر آگونیوم یک تا ندرتاً چهار آنتریدیوم تکین یا دوین وجود داشت. اتصال آنتریدیوم به آگونیوم به صورت پهن بود. آسپورها از نوع ناپرساز تا تقریباً پرساز به قطر ۳۰ میکرومتر با دیواره‌ای به ضخامت ۲ میکرومتر بودند (جدول ۴، شکل ۲). دمای کمینه ۱۰، بهینه ۳۰ و بیشینه

Pythium megalacanthum de Bary

جدایه‌های مربوط به این گونه از درختان نارنج، اکالیپتوس، نخل شانه‌ای، نارون و صنوبر نقاط مختلف شهرستان شیراز به دست آمدند (جدول ۱). الگوی رشد پرگنه روی محیط کشت‌های CMA به صورت شعاعی، روی MEA به صورت گل‌سرخی، روی PDA به صورت گل‌داوودی و روی HSA و CA بدون الگوی رشد بود (جدول ۲). ضخامت ریسه اصلی به ۸ میکرومتر می‌رسید. اسپورانژیوم انتهایی یا بین‌ریسه‌ای، بیضوی کشیده، تخم مرغی تا ندرتاً گرد، با ابعاد ۳۸ در ۲۷ میکرومتر،

بوزوهاشی و همکاران (Uzuhashi *et al.* 2010)، نام این گونه *Globisporangium megalacanthum* (de Bary) باید به Uzuhashi, Tojo & Kakish درختان نارنج، نارون و نخل زینتی دارای پوسیدگی شدید طوفه در این پژوهش جداسازی شده، اما تاکنون گزارشی از بیماری‌زایی آن روی درختان زینتی ذکر نشده است.

۳۵ درجه سلسیوس بود. آهنگ رشد روزانه روی محیط کشت CMA در ۲۵ درجه سلسیوس ۷ میلی‌متر بود. این گونه از نظر ساختارهای غیرجنسی و جنسی، به گونه‌های *P. anandrum* و *P. oligandrum* و *P. prolatum* تفاوت این گونه با سایر گونه‌ها در داشتن اغلب اسپورانژیوم‌های دارای پستانک، وجود آنتریدیوم‌های تکبُن، بقای آنتریدیوم بعد از بلوغ و وجود تزیینات ضخیم‌تر نسبت به سایر گونه‌های توصیف شده است (پلاتس-نیترینک ۱۹۸۱). طبق نظر

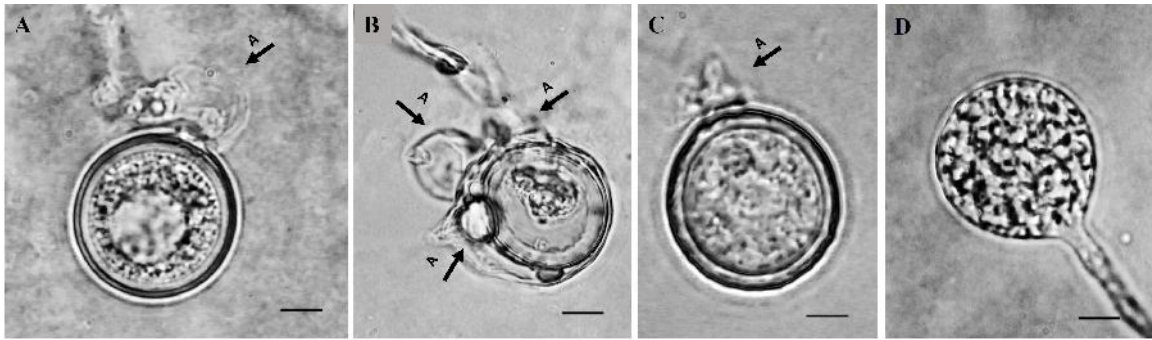


شکل ۲- ریختشناسی *Pythium megalacanthum* (جدایه MpCi03) جدا شده از شهرستان شیراز: A-B. ساختارهای جنسی: A. اسپور ناپرساز با آنتریدیوم تکبُن، B. اسپور کاملاً ناپرساز با آنتریدیوم با اتصال پهن، C-D. اسپورانژیوم با پستانک و افزولش داخلی، D. اسپورانژیوم تقریباً تخم مرغی با لوله تخلیه بلند (مقیاس = ۱۰ میکرومتر).

Fig. 2. Morphology of *Pythium megalacanthum* (MpCi03) isolated from Shiraz County, Iran: A-B. Sexual structures: A. Aplerotic oospore with monoclinous antheridium, B. Perfectly aplerotic oospore with broad antheridial attachment, C-D: Sporangium: C. Sporangium releasing zoospores, D. Nearly ovoid sporangium with long discharged tube (Bar = 10 μm).

ضخامت ۰/۰ تا ۱ میکرومتر بودند (جدول ۴، شکل ۳). دمای کمینه ۵، بهینه ۲۵ و بیشینه ۴۰ درجه سلسیوس اندازه‌گیری شد. آهنگ رشد روزانه روی محیط کشت CMA در ۲۵ درجه سلسیوس ۴ میلی‌متر بود. این گونه از جمله نخستین گونه‌های دگرگال *Pythium* در دنیا گزارش شده است (Campbell & Campbell 1967b). برخلاف نتایج این پژوهشگران و همچنین پلاتس-نیترینک (۱۹۸۱)، تمامی جدایه‌های مورد بررسی در این پژوهش همتال بودند، اما میزان تولید ساختارهای جنسی به تعداد بسیار کمی در محیط کشت‌های جامد HSA و CA دیده شد. این گونه قبلاً در دنیا از درختان کاج گزارش شده است (Galaaen & Venn 1979). در این پژوهش، گونه مذکور از طوفه پوسیده درخت کاج ایرانی به دست آمده است. با توجه به داده‌های حاصل از پژوهش‌های قبلی و این پژوهش، می‌توان این گونه را به احتمال زیاد بیمارگر درخت کاج دانست.

جدایه‌های مربوط به این گونه از کاج ایرانی، سرو شیرازی، افاقیا از نقاط مختلف شهرستان شیراز به دست آمدند (جدول ۱). الگوی رشد پرگنه روی محیط کشت‌های CA و PDA به صورت گل‌سرخی و روی MEA و HSA مفاد MEA CA و HSA. الگوی رشد مشخص است (جدول ۲). قطر ریسه اصلی ۷ میکرومتر بود. اسپورانژیوم و زئوپسپور در هیچ‌یک از جدایه‌های این گونه تشکیل نشد، اما آماس‌های ریسه به فراوانی در محیط مایع تشکیل شدند. این آماس‌ها کروی یا لیمویی شکل، انتهایی یا بین‌ریسه‌ای و به قطر ۲۰ میکرومتر بودند. تمامی جدایه‌های مربوط به این گونه همتال بودند. آگونیوم با سطح صاف، به صورت انتهایی یا بین‌ریسه‌ای و با قطر ۲۳ میکرومتر به تعداد اندکی در کشت جامد تشکیل شد. به ازای هر آگونیوم ۲ تا ۴ آنتریدیوم دوبن تا ندرتاً تکبُن به صورت پراماده وجود داشت. سلول‌های آنتریدیومی اغلب آماسیده بودند. اسپورها از نوع ناپرساز تا نزدیک به پرساز، به قطر ۲۰ میکرومتر و با دیواره‌ای به



شکل ۳- ریخت‌شناسی *Pythium sylvaticum* (جدایه SgPi04) جدا شده از شهرستان شیراز: A-C. ساختارهای جنسی: A. آسپور پرساز با یک عدد آنتریدیوم دوین، B. آسپور ناپرساز با بیش از سه عدد آنتریدیوم پراماده، C. آسپور انتهایی و تقریباً پرساز با یک عدد آنتریدیوم تکین و پراماده، D. آماز ریسه انتهایی (مقیاس = ۱۰ میکرومتر).

Fig. 3. Morphology of *Pythium sylvaticum* (SgPi04) isolated from Shiraz County, Iran: A-C. Sexual structures: A. Plerotic oospore with a diclinous antheridium, B. Aplerotic oospore with more than three paragynous antheridia, C. Nearly plerotic, terminal oospore with a monoclinous, paragynous antheridium, D. Terminal hyphal swelling (Bar = 10 μm).

از میان گونه‌های *Pythium* به دست آمده در این پژوهش، دو گونه *Py. irregularare* و *Py. echinulatum* هر دو از بافت ریشه درختان زینتی جداسازی شده‌اند (جدول ۱) و این احتمال وجود دارد که جدایه‌های به دست آمده از این دو گونه حداقل روی نهال‌های این درختان بیماری‌زا باشند. گونه *Py. middletonii* از خاک درخت سرو نقره‌ای با عالیم پوسیدگی طوقه و خشکیدگی سرشاخه و بافت ریشه پوسیده درخت افرا جداسازی شد. گزارش‌هایی مبنی بر بیمارگر بودن *Py. middletonii* نیز روی سوزنی‌برگان وجود دارد (Campbell & Campbell 1967a). گونه *Py. middletonii* از روی حشرات و قطعات گیاهی در حال پوسیدن در آب جداسازی و توصیف شده است (پلاتس-نیترینک ۱۹۸۱) و این گونه فقط یکبار از روی خیار در استان کرمان گزارش شده است (Hatami et al. 2010). تمامی گونه‌های پیتیوم در این پژوهش از نظر خصوصیات ریخت‌شناسی با توصیفات قبلی شباهت داشتند (Plaats-Niterink 1981, Abdul Baten et al. 2014, Abdul Baten et al. 2015, de Cock et al. 2015, Salmaninezhad & Mostowfizadeh-Ghalamfarsa 2017b). تنها اندکی تفاوت در ریخت‌سنگی آن‌ها با توصیفات اولیه‌شان مشاهده شد (جدول ۳). گونه *Pp. oedochilum* همراه با درختان کاج ایرانی، سرو نقره‌ای و نارون جداسازی شد. این گونه قبلاً در ایران از کنگر Chenari Bouket et al. (2016) گزارش شده است (*Circium sp.*). گونه *Pp. vexans* از این به عنوان عامل پوسیدگی ریشه عشقه (*Hedera helix* L.) در شیراز معرفی شده است (Bolboli & Mostowfizadeh-Ghalamfarsa 2014). در این پژوهش، این گونه از خاک درخت سرو نقره‌ای دارای عالیم پوسیدگی طوقه شدید به دست آمد.

گونه‌های *Phytophthora* به دست آمده در این پژوهش از نظر خصوصیات ریخت‌شناسی به جز اندکی اختلاف در ابعاد اندام‌های جنسی، با توصیفات قبلی شباهت داشتند (Gallegly & Hong 2008). به نظر می‌رسد که گونه *Ph. capsici* پیش از این از هیچ درخت زینتی گزارش نشده است. در پژوهش حاضر، این گونه از خاک درخت اکالیپتوس و طوقه درخت نارنج جداسازی شد و این احتمال وجود دارد که بیمارگر درختان نارنج باشد. همچنین، گونه *Ph. nicotianae* نیز از بافت ریشه پوسیده درختان بیدمنجنون و نارنج جداسازی شد.

گونه‌های *Phytophytium* به دست آمده در این پژوهش، همگی از نظر خصوصیات ریخت‌شناسی اندام‌های جنسی و غیرجنسی و پرگنه با توصیفات قبلی تشابه داشتند (Plaats-Niterink 1981, Abdul Baten et al. 2014, Abdul Baten et al. 2015, de Cock et al. 2015, Salmaninezhad & Mostowfizadeh-Ghalamfarsa 2017b). تنها اندکی تفاوت در ریخت‌سنگی آن‌ها با توصیفات اولیه‌شان مشاهده شد (جدول ۳). گونه *Pp. oedochilum* همراه با درختان کاج ایرانی، سرو نقره‌ای و نارون جداسازی شد. این گونه قبلاً در ایران از کنگر Chenari Bouket et al. (2016) گزارش شده است (*Circium sp.*). گونه *Pp. vexans* از این به عنوان عامل پوسیدگی ریشه عشقه (*Hedera helix* L.) در شیراز معرفی شده است (Bolboli & Mostowfizadeh-Ghalamfarsa 2014). در این پژوهش، این گونه از خاک درخت سرو نقره‌ای دارای عالیم پوسیدگی طوقه شدید به دست آمد.

احتمالی جدید می‌توان از واکاوی‌های فیلوژنتیکی مبتنی بر ژن‌های هسته‌ای و میتوکندریایی بهره گرفت. از آن‌جا که تنوع آمیست‌های جداسده از درختان زینتی این پژوهش بسیار زیاد بود و از طرفی فضای سبز و درختان زینتی از اهمیت ویژه‌ای برخوردارند، پیشنهاد می‌شود که فلور آمیستی درختان زینتی سایر شهرهای ایران نیز مورد بررسی قرار گیرند، تا با ایجاد تصویری دقیق‌تر از تنوع زیستی موجود، امکان اتخاذ راهکارهای مدیریتی به موقع فراهم گردد.

گونه‌های مربوط به جنس‌های *Phytophytium* و *Phytophthora* از آن‌ها جداسازی شد، علیمی نظیر سیاه‌شدگی طوفه و خشکیدگی را از خود نشان می‌دادند. بنابراین، احتمال بیماری‌زایی این جنس‌ها روی سوزنی‌برگان زیاد است که نیاز به اثبات بیماری‌زایی و انجام اصول کخ دارد. تنوع زیادی در پنج جنس مختلف آمیستی به دست آمده از این پژوهش مشاهده شد که برخی از آن‌ها متعلق به آرایه‌های جدید بودند. با این حال، به منظور توصیف گونه‌های

جدول ۱- جدایه‌های آمیست به دست آمده از درختان زینتی شهرستان شیراز

Table 1. Oomyceteous isolates from ornamental trees of Shiraz County (Iran)

Taxon	Isolate [†]	Matrix	Date	Location	Coordinates
<i>Phytophthora cactorum</i>					
	AzPi03	<i>Pinus eldarica</i> (soil)	Jul. 2018	Azadi Park	29°37'.773"N 052°32'.248"E
	AzCu01	<i>Cupressus sempervirens</i> (soil)	Jul. 2018	Azadi Park	29°37'.759"N 052°32'.255"E
	ErCu06	<i>Cupressus sempervirens</i> (soil)	Jun. 2018	Eram Garden	29°37'.742"N 052°32'.322"E
	JaCu04	<i>Cupressus arizonica</i> (soil)	Sept. 2018	Jahan Nama Garden	29°37'.760"N 052°32'.344"E
<i>Phytophthora capsici</i>					
	RgEu03	<i>Eucalyptus obliqua</i> (soil)	Jun. 2018	Raaz Garden Restaurant	29°37'.733"N 052°32'.332"E
	MmCi08	<i>Citrus aurantium</i> (crown)	Aug. 2018	Mellat Park	29°37'.743"N 052°32'.342"E
<i>Phytophthora nicotianae</i>					
	AzPi08	<i>Pinus brutia</i> (root)	Jun. 2018	Azadi Park	29°37'.759"N 052°32'.391"E
	GbCi01	<i>Citrus aurantium</i> (root)	May 2018	Golestan Blvd.	29°37'.764"N 052°32'.401"E
	AzSa03	<i>Salix babylonica</i> (root)	Jul. 2018	Azadi Park	29°37'.764"N 052°32'.402"E
	ChCu09	<i>Cupressus sempervirens</i> (soil)	May 2018	Chamran Blvd.	29°37'.780"N 052°32'.419"E
<i>Phytophytium litorale</i>					
	ErPl06	<i>Platanus orientalis</i> (soil)	May 2018	Eram Garden	29°37'.785"N 052°32'.432"E
<i>Phytophytium oedochilum</i>					
	AzPi21	<i>Pinus eldarica</i> (soil)	Apr. 2018	Azadi Park	29°37'.735"N 052°32'.466"E
	ErUi01	<i>Ulmus boissieri</i> (soil)	Mar. 2018	Eram Garden	29°37'.742"N 052°32'.480"E
	MpCu04	<i>Cupressus sempervirens</i> (soil)	May 2018	Melli Garden	29°37'.743"N 052°32'.492"E
<i>Phytophytium ostracodes</i>					
	MpCu03-1	<i>Cupressus arizonica</i> (root)	Mar. 2018	Melli Garden	29°37'.732"N 052°32'.492"E
	SgPl09	<i>Platanus orientalis</i> (soil)	May 2018	Shaghayegh Garden	29°37'.732"N 052°32'.493"E
<i>Phytophytium palingenes</i>					
	GbEu1a	<i>Eucalyptus obliqua</i> (root)	Jun. 2018	Golestan Blvd.	29°37'.557"N 052°33'.335"E
	ErAi01	<i>Ailanthus altissima</i> (crown)	Jul. 2018	Eram Garden	29°37'.554"N 052°33'.336"E
	GhCu06	<i>Cupressus sempervirens</i> (soil)	Sept. 2018	Zerehi Koodak Park	29°37'.547"N 052°33'.331"E
<i>Phytophytium vexans</i>					
	RgCu01	<i>Cupressus sempervirens</i> (soil)	Jul. 2018	Raaz Garden Restaurant	29°37'.545"N 052°33'.335"E
<i>Pythium aphanidermatum</i>					
	GbCu01	<i>Cupressus arizonica</i> (soil)	Mar. 2018	Golestan Blvd.	29°37'.506"N 052°33'.310"E
	AzCe02	<i>Cercis siliquastrum</i> (soil)	Jun. 2018	Azadi Park	29°37'.535"N 052°33'.338"E
	AzAc12	<i>Acer saccharinum</i> (soil)	Jul. 2018	Azadi Park	29°37'.534"N 052°33'.338"E
	ErRo07	<i>Robinia hispida</i> (soil)	Dec. 2017	Eram Garden	29°37'.528"N 052°33'.337"E
	JaEu02	<i>Eucalyptus obliqua</i> (soil)	Aug. 2018	Jahan Nama Garden	29°37'.528"N 052°33'.339"E
	JaLa08	<i>Laurus nobilis</i> (soil)	Jan. 2018	Jahan Nama Garden	29°37'.516"N 052°33'.333"E

جدول ۱ (دادمه)

Table 1 (contd)

MpMo12	<i>Morus nigra</i> (soil)	Feb. 2018	Melli Garden	29°37'.516"N	052°33'.345"E
JaNe01	<i>Nerium oleander</i> (soil)	Aug. 2018	Jahan Nama Garden	29°37'.396"N	052°33'.572"E
<i>Pythium catenulatum</i>					
GbPl01	<i>Platycladus orientalis</i> (soil)	Feb. 2018	Golestan Blvd.	29°37'.377"N	052°33'.598"E
ChCh03	<i>Chamaerops humilis</i> (soil)	Apr. 2018	Chamran Blvd.	29°37'.372"N	052°33'.603"E
ChSa06	<i>Salix babylonica</i> (soil)	Mar. 2018	Chamran Blvd.	29°37'.372"N	052°33'.603"E
ChUl01	<i>Ulmus boissieri</i> (soil)	Jul. 2018	Chamran Blvd.	29°37'.372"N	052°33'.603"E
SgPo04	<i>Populus tremula</i> (soil)	Aug. 2018	Shaghayegh Garden	29°37'.342"N	052°33'.641"E
ChPi01	<i>Pinus mugo</i> (soil)	Aug. 2018	Chamran Street	29°37'.341"N	052°33'.641"E
JgCu04	<i>Cupressus sempervirens</i> (soil)	May 2018	Jannat Garden	29°36'.953"N	052°34'.091"E
JgSa09	<i>Salix alba</i> (soil)	May 2018	Jannat Garden	29°36'.968"N	052°34'.058"E
<i>Pythium echinulatum</i>					
MpCi05	<i>Citrus aurantium</i> (root)	Jul. 2018	Melli Garden	29°36'.968"N	052°34'.056"E
SiCa07	<i>Callistemon citrinus</i> (soil)	Jun. 2018	Sibzar Garden	29°36'.998"N	052°34'.037"E
<i>Pythium hydnosporum</i>					
RgCh02	<i>Chamaerops humilis</i> (soil)	Aug. 2018	Raaz Garden Restaurant	30°03'.603"N	052°22'.690"E
SgAi12	<i>Ailanthus altissima</i> (soil)	Apr. 2018	Shaghayegh Garden	30°03'.603"N	052°22'.690"E
AzRo8	<i>Robinia hispida</i> (soil)	Sept. 2018	Azadi Park	30°03'.603"N	052°22'.690"E
<i>Pythium irregularare</i>					
AzPh01	<i>Phoenix canariensis</i> (root)	Mar. 2018	Azadi Park	29°39'44.7"N	052°29'17.3"E
MpCu02	<i>Cupressus sempervirens</i> (soil)	Aug. 2018	Melli Garden	29°39'45.0"N	052°29'56.6"E
AzPh07	<i>Phoenix canariensis</i> (soil)	May 2018	Azadi Park	29°39'08.2"N	052°28'46.8"E
JgPy02	<i>Pyracantha coccinea</i> (root)	Jul. 2018	Jannat Garden	29°38'15.7"N	052°28'46.8"E
ErCh01	<i>Chamaecyparis lawsoniana</i> (soil)	Jun. 2018	Eram Garden	29°37'41.7"N	052°34'.037"E
<i>Pythium kashmirens</i>					
GbMo1	<i>Morus alba</i> (soil)	Apr. 2018	Golestan Blvd.	29°37'.519"N	052°33'.318"E
ErCh05	<i>Chamaecyparis lawsoniana</i> (soil)	May 2018	Eram Garden	29°37'.735"N	052°32'.466"E
<i>Pythium megalacanthum</i>					
MpCi03	<i>Citrus aurantium</i> (soil)	Apr. 2018	Melli Garden	29°37'.781"N	052°32'.241"E
ChUl03	<i>Ulmus boissieri</i> (soil)	May 2018	Azadi Park	29°36'12.7"N	052°22'.690"E
GbPh12	<i>Phoenix canariensis</i> (soil)	Jun. 2018	Golestan Blvd.	29°38'15.7"N	052°28'46.8"E
<i>Pythium middletonii</i>					
GbCu03	<i>Cupressus sempervirens</i> (soil)	Jul. 2018	Golestan Blvd.	29°37'.519"N	052°33'.318"E
ErAc01	<i>Acer pseudoplatanus</i> (root)	Aug. 2018	Eram Garden	29°36'12.7"N	052°22'.690"E
<i>Pythium nunn</i>					
GbCu04-1	<i>Cupressus arizonica</i> (leaf)	Jun. 2018	Golestan Blvd.	30°03'.603"N	052°22'.690"E
AzRo17	<i>Robinia hispida</i> (soil)	Jul. 2018	Azadi Park	29°37'.733"N	052°32'.332"E
<i>Pythium oligandrum</i>					
MpPi02	<i>Pinus brutia</i> (soil)	Aug. 2018	Melli Garden	29°37'.781"N	052°32'.241"E
ErPi04	<i>Pinus elderica</i> (soil)	Jul. 2018	Eram Garden	052°22'.690"E	052°33'.338"E
RgPi08	<i>Pinus mugo</i> (soil)	Aug. 2018	Raaz Garden Restaurant	29°37'.733"N	052°32'.332"E
MpCe12	<i>Celtis australis</i> (soil)	Aug. 2018	Raaz Garden Restaurant	29°37'.780"N	052°32'.419"E
<i>Pythium sylvaticum</i>					
SgPi04	<i>Pinus mugo</i> (crown)	Jun. 2018	Shaghayegh Garden	30°03'.603"N	052°22'.690"E

جدول ۲- ریخت‌شناسی پرگنه و میزان رشد (میلی‌متر در روز) گونه‌های آمیستی درختان زینتی شهرستان شیراز در ۲۵ درجه سلسیوس در محیط کشت‌های مختلف

Table 2. Colony morphology and growth rate (mm/d) of oomyceteous species from ornamental trees of Shiraz (Iran) at 25 °C on various media

Taxon	HSA ¹		MEA ²		CA ³		PDA ⁴		CMA ⁵	
	Growth	Colony	Growth	Colony	Growth	Colony	Growth	Colony	Growth	Colony
<i>Phytophthora cactorum</i> (AzCu01)	5	Rad	10	Med	2	Med	10	Med	5	Rad
<i>Ph. capsici</i> (RgEu03)	5	NP	5	NP	4	NP	7	NP	3	NP
<i>Ph. nicotianae</i> (GbCi01)	20	NP	7	Chry	9	Ros	10	Med	5	NP
<i>Phytophytium litorale</i> (AzMo1a)	30	Med	10	Med	5	Chry	5	Ros	15	St
<i>Pp. oedochilum</i> (MpCu04)	20	Rad	30	Ros	10	Chry	30	Ros	20	Rad
<i>Pp. ostracodes</i> (MpCu03-1)	2	Rad	30	Rad	25	Chry	20	Ros	2	Rad
<i>Pp. palingenes</i> (GbEu1a)	10	NP	2	NP	10	Med	7	Ros	5	NP
<i>Pp. vexans</i> (RgCu01)	2	NP	30	Rad	2	Rad	10	Ros	3	Rad
<i>Pythium aphanidermatum</i> (GbCu01)	10	NP	30	NP	30	NP	30	NP	4	NP
<i>Py. catenulatum</i> (GbPl01)	30	Rad	30	Ros	0.1	Uni	30	St	20	Rad
<i>Py. echinulatum</i> (MpCi05)	1	Chry	30	Chry	0.1	Uni	30	Chry	20	Uni
<i>Py. hydnosporum</i> (RgCh02)	0.5	NP	8	Chry	7	NP	6.3	Ros	0.5	NP
<i>Py. irregularare</i> (AzPh01)	0.5	NP	4.2	Chry	5.1	Chry	3.5	NP	1.5	NP
<i>Py. kashmirens</i> (GbMo1)	15	Rad	25	Rad	1	Uni	20	Ros	26	Rad
<i>Py. megalacanthum</i> (MpCi03)	30	NP	12	Ros	2	NP	27	Chry	21	Rad
<i>Py. middletonii</i> (GbCu03)	11	Rad	12	Chry	0.5	Uni	1	Rad	10	Rad
<i>Py. nunn</i> (GbCu04-1)	0.5	NP	0.5	Chry	2.1	Rad	3	Med	0.5	NP
<i>Py. oligandrum</i> (MpPi02)	24	Rad	30	Ros	0.5	NP	30	Ros	25	Uni
<i>Py. sylvaticum</i> (SgPi04)	0.5	NP	3.3	Ros	4.5	Ros	2.2	NP	0.5	NP

¹HSA= Hempseed agar; ²MEA= Malt extract agar; ³CA= Carrot agar; ⁴PDA= Potato dextrose agar; ⁵CMA= Corn meal agar; ⁶Rad= radiate, Ros= rosette, Med= mediated, NP= no particular pattern, Uni= uniform, St= star-shaped

جدول ۳- مقایسه خصوصیات ریخت‌شناختی گونه‌های آمیستی در این پژوهش

Table 3. Comparision of morphological characteristics of oomycetous species in this study

Character	Taxon							
	<i>Phytophthora cactorum</i>	<i>Phytophthora capsici</i>	<i>Phytophthora nicotiana</i>	<i>Phytophytium litorale</i>	<i>Phytophytium oedochilum</i>	<i>Phytophytium ostracodes</i>	<i>Phytophytium palingenes</i>	<i>Phytophytium vexans</i>
Sporangia								
Papillae	+	+	+	+	-	+	-	+
Average length (μm)	30	32	50	40	22.2	31	47	38
Range length (μm)	25–43	28–40	45.3–57.1	37–43.5	20.1–26.3	30–35	45.5–48.9	37.2–44
Average width (μm)	20	25	40	35	20	27	39	29
Range width (μm)	19–29	21–39	37.6–45.9	30–41.1	19.7–23.5	25.9–34	36.1–43.8	27–32
Length width ratio	1.5	1.9	1.5	1.3	1.2	1.1	1.6	1.2
Shapes	Globose, ovoid	Ovoid, ellipsoid	Ovoid, ellipsoid	Globose, ovoid	Subglobose, ovoid	Subglobose, ovoid	Globose, ovoid	Globose, ovoid
Proliferation	-	-	-	+	+	+	+	+
Average pore diam. (μm)	5	4	8	3	1.9	7	6.8	12
Range (μm)	3–5.5	3–5.3	6.7–12	2.9–6.6	1.3–2.4	4.1–7.7	5.6–7.9	6.9–12.4
Mating type	Homothallic	A2	A1	Sterile	Homothallic	Homothallic	Homothallic	Homothallic
Oogonia								
Average diam. (μm)	32	34	29		27.7	30	40.2	28
Range (μm)	29–40	28–43	27–38.9	-	25.1–29.3	28.3–34	38.6–45.6	27.4–32.8
Oospores								
Average diam. (μm)	25	29	21	-	23.6	28	28	25
Range (μm)	20–30	26–43	19–24.3	-	22–27.4	27.2–29.7	27.9–41.8	24.6–29.9
Type	Plerotic and aplerotic	Nearly plerotic	Aplerotic	-	Aplerotic	Aplerotic	Aplerotic	Aplerotic
Oospore wall average (μm)	4	2	2	-	1.5	4	4	3
Antheridia								
Average diam. (μm)	10	10	18	-	13 × 4	15 × 7	20 × 4	25 × 3.2
Range (μm)	7–13	7.2–12.7	14.2–21	-	12.1 × 2–14 × 5	14 × 5–16 × 9.1	19 × 3.5–23 × 6	24 × 2–26 × 2.9
Hyphae								
Average width (μm)	3	3.5	3	-	6	6.1	6.5	4.5
Range (μm)	2.7–7	3–5.9	2.4–7	-	3.9–7.2	5.4–6.8	5.7–6.9	4–7

جدول ۴- مقایسه خصوصیات ریخت‌شناختی گونه‌های *Pythium* در این پژوهش

Table 4. Comparision of morphological characteristics of *Pythium* species in this study

Character	Taxon										
	<i>P. aphanidermatum</i>	<i>P. catenulatum</i>	<i>P. echinulatum</i>	<i>P. hydnosporum</i>	<i>P. irregularare</i>	<i>P. kashmirensis</i>	<i>P. megalacanthum</i>	<i>P. middletonii</i>	<i>P. nunnii</i>	<i>P. oligandrum</i>	<i>P. sylvaticum</i>
Sporangia											
Papillae	—	—	—	—	—	—	+	—	—	—	—
Average length (μm)	Var. ¹	Var.	33	—	30	Var.	38	30	—	Var.	—
Range length (μm)	Var.	Var.	32.1–34.8	—	27–34	Var.	35.8–40.2	29–31	—	Var.	—
Average width (μm)	Var.	Var.	27	—	20	Var.	27	25	—	Var.	—
Range width (μm)	Var.	Var.	26.5–33	—	19.1–21	Var.	26–28.3	24.4–25.8	—	Var.	—
Length:width ratio	Var.	Var.	1.1	—	1.3	Var.	1.6	1.2	—	Var.	—
Shapes	Inflated	Filamentous	Subglobose	—	Ovoid, globose	Filamentous	Ellipsoid, ovoid	Ovoid	—	Inflated	—
Proliferation	Var.	Var.	+	—	—	Var.	+	+	—	Var.	—
Average pore diam. (μm)	Var.	Var.	7	—	3	Var.	3.5	3	—	Var.	—
Range (μm)	Var.	Var.	6.3–9.5	—	2.4–7	Var.	3–5.9	2.7–4	—	Var.	—
Mating type	Homothallic	Homothallic	Homothallic	Homothallic	Homothallic	Homothallic	Homothallic	Homothallic	Homothallic	Homothallic	Homothallic
Oogonia											
Average diam. (μm)	43	27	30	35	25	33	35	33	30	35	23
Range (μm)	39–47	26.4–29	27.4–32	34.1–36.9	24–26.3	30.2–34.9	34.2–35.9	31–34.2	28.9–33	32.8–35.8	21–23.6
Oospores											
Average diam. (μm)	30	20	26	30	23	26	30	27	27.8	30	20
Range (μm)	28.9–36.3	19.7–27	25.8–30	27.9–33	22.2–24.5	25–27.7	28.7–33	26–28.1	27–30	27–32	19.6–21
Type	Aplerotic	Aplerotic	Aplerotic	Aplerotic	Aplerotic	Aplerotic	Aplerotic	Aplerotic	Aplerotic	Aplerotic	Aplerotic
Oospore wall average (μm)	2	2	3	1.5	2	3	2	1	2	3	1
Antheridia											
Average diam. (μm)	15 × 10	5	6 × 2	4	Var.	12	4 × 2	4	7	5	12
Range (μm)	14 × 7–16 × 11.5	4.5–5.7	5 × 1.3–7 × 3	3.5–5.1	Var.	11–13	3.1 × 1.2–5 × 3.5	3.2–5	6.5–8.1	4–5.5	11–13.4
Hypphae											
Average width (μm)	5	3.3	6	5	5.5	5.5	8	7	5.5	5	7
Range (μm)	4.6–8.7	3–5.1	5.1–7	3–5.6	5–6.3	5–6	7.2–8.4	6.5–7.8	5–6.5	4.5–6	6.5–7.8

¹Var.= variable

جدول ۵- میانگین آهنگ رشد شعاعی (میلی‌متر در روز) گونه‌های مورد آزمون در این پژوهش در دماهای مختلف روی محیط کشت عصاره ذرت-آگار

Table 5. Average radial growth rate (mm/d) of tested species in this study at various temperatures on Corn Meal-Agar

Taxon	Temperature (°C)									
	0	5	10	15	20	25	30	35	40	45
<i>Phytophthora cactorum</i> (AzCu01)	0	0	0	3	4	5	13	11	1	0
<i>Ph. capsici</i> (RgEu03)	0	0	0	1	2	3	12	9	0	0
<i>Ph. nicotianae</i> (GbCi01)	0	0	0	3	4	5	11	12	3	0
<i>Phytophytium litorale</i> (AzMo1a)	0	0	0	4	12	15	20	19	0	0
<i>Pp. oedochilum</i> (MpCu04)	0	0	5	2	14	20	23	24	0	0
<i>Pp. ostracodes</i> (MpCu03-1)	0	0	1	1	4	6	10	17	0	0
<i>Pp. palingenes</i> (GbEu1a)	0	0	1	4	5	5	7	9	0	0
<i>Pp. vexans</i> (RgCu01)	0	0	1	2	4	5	8	14	1	0
<i>Pythium aphanidermatum</i> (GbCu01)	0	0	0	2	17	20	30	30	15	2
<i>Py. catenulatum</i> (GbPl01)	0	0	0	7	15	20	30	30	12	3
<i>Py. echinulatum</i> (MpCi05)	0	0	0	9	13	20	21	20	0	0
<i>Py. hydnosporum</i> (RgCh02)	0	0	0	1	2	3	6	5	0	0
<i>Py. irregularare</i> (AzPh01)	0	0	0	1	2	4	7	12	0	0
<i>Py. kashmirens</i> (GbMo1)	0	0	0	20	23	26	30	30	0	0
<i>Py. megalacanthum</i> (MpCi03)	0	0	0	2	15	21	25	21	0	0
<i>Py. middletonii</i> (GbCu03)	0	0	0	2	5	10	15	16	0	0
<i>Py. nunn</i> (GbCu04-1)	0	0	0	0	1	12	17	12	1	0
<i>Py. oligandrum</i> (MpPi02)	0	0	0	2	17	25	30	26	4	0
<i>Py. sylvaticum</i> (SgPi04)	0	0	0	0	5	9	11	11	0	0

References

- Abdul Baten, M.D., Asano, T., Motohashi, K., Ishiguro, Y., Ziaur Rahman, M., Inaba, S., Suga, H. & Kageyama, K. 2014. Phylogenetic relationships among *Phytophytium* species, and re-evaluation of *Phytophytium fagopyri* comb. nov. recovered from damped-off buckwheat seedlings in Japan. Mycological Progress 13(4): 1145–1156.
- Abdul Baten, M.D., Mingzhu, L., Motohashi, K., Ishiguro, Y., Rahman, M.Z., Suga, H. & Kageyama, K. 2015. Two new species, *Phytophytium iriomotense* sp. nov. and *P. aichiense* sp. nov., isolated from river water and water purification sludge in Japan. Mycological Progress 14: 2–13.
- Alilobonab, S., Moravaj, G., Heidari, M. & Ditrisch, C. 2016. Species variation of Cicadellidae leafhoppers in Mashhad green space along with the introduction of predominant species. Proceedings of the 21st.

- Iranian Plant Protection Congress, 27–30 Aug., Karaj, Iran: 449.
- Bala, K., Robideau, G.P., Lèvesque, A., de Cock, A.W.A.M., Adad, Z.G., Lodhi, A.M., Shahzad, S., Ghaffar, A. & Coffey, M.D. 2010. *Phytopythium* Adad, de Cock, Bala, Robideau, Lodhi & Lèvesque gen. nov. and *Phytopythium sindhum* Lodhi, Shahzad & Lèvesque sp. nov. Persoonia 24: 136–137.
- Banihademi, Z., MacDonald, J.D. & Stite, J. 1992. Combine baiting and ELISA to detect and quantify *Phytophthora* spp. in container media. Phytopathology 82: 1101 (Abstract).
- Bolboli, Z. & Mostowfizadeh-Ghalamfarsa, R. 2014. Identification of *Phytopythium vexans*, the casual agent of ivy root rots in Shiraz. Proceedings of the 21st. Iranian Plant Protection Congress, 23–26 Aug., Urmia, Iran: 864.
- Bolboli, Z. & Mostowfizadeh-Ghalamfarsa, R. 2015. Phylogenetic relationships and taxonomic characteristics of *Pythium* spp. isolates in cereal fields of Fars province. Iranian Journal of Plant Pathology 51(4): 471–492.
- Campbell, W.A. & Hendrix, F.F. 1967a. *Pythium* and *Phytophthora* populations in southern forest tree nurseries. Phytopathology 57: 457 (Abstract).
- Campbell, W.A. & Hendrix, F.F. 1967b. A new heterothallic *Pythium* from Southern United States. Mycologia 59: 274–278.
- Chenari Bouket, A., Babai-Ahari, A., Arzanlou, M. & Tojo, M. 2016. Morphological and molecular characterization of *Phytopythium litorale* and *Pp. oedochilum* from Iran. Nova Hedwigia 102(1–2): 257–270.
- de Cock, A.W.A.M., Lodhi, A.M., Rintoul, T.L., Bala, K., Robideau, G.P., Abad, Z.G., Coffey, M.D., Shahzad, S. & Lévesque, C.A. 2015. *Phytopythium*: molecular phylogeny and systematics. Persoonia 34: 25–39.
- Drechsler, C. 1930. Some new species of *Pythium*. Journal of the Washington Academy of Sciences 20: 298–418.
- Ershad, D. 2009. Fungi of Iran. Iranian Research Institute of Plant Protection, 558 pp., Tehran, Iran.
- Erwin, D.C. & Ribeiro, O.K. 1996. *Phytophthora* Diseases Worldwide. APS Press, 592 pp., St. Paul, Minnesota, USA.
- Galaaen, R. & Venn, K. 1979. *Pythium sylvaticum* and other fungi associated with root die-back of 2–0 seedlings of *Picea abies* in Norway. Meddelelser fra Norsk institutt for Skogforskning 34: 265–280 (In Norwegian).
- Gallegly, M.E., ChuanXue, H. & Hong, C. 2008. *Phytophthora*: Identifying Species by Morphology and DNA Fingerprints. APS Press, 158 pp., St. Paul, Minnesota, USA.
- Gunnell, P.S. & Webster, R.K. 1988. Crown and root rot of cultivated wild rice in California caused by *Phytophthora erythroseptica* sensu lato. Plant Disease 72(10): 909–910.
- Hatami, N., Zamanizadeh, H.R. & Aminaii, M.M. 2008. Collection and identification of plant pathogenic fungi in cucumber greenhouse. Proceedings of the 18th. Iran Plant Protection Congress, 24–27 Aug., Hamedan, Iran: 195.
- Hulvey, J., Telle, S., Nigrelli, L., Lamour, K. & Thines, M. 2010. Salisapiliaceae- a new family of oomycetes from marsh grass litter of southeastern North America. Persoonia 25: 109–116.

- Jeffers, S.N. & Martin, S.B. 1968. Comparision of two media selective for *Phytophthora* and *Pythium* species. *Plant Disease* 70(11): 1035–1043.
- Jesus, A.L., Gonçalves, D.R., Rocha, S.C.O., Marano, A.V., Jerônimo, G.H., De Souza, J.I. & Pires-Zottarelli, C.L.A. 2016. Morphological and phylogenetic analyses of three *Phytopythium* species (Peronosporales, Oomycota) from Brazil. *Cryptogamie, Mycologie* 37: 117–128.
- Khodashenas Roudsari, M., Okhovat, S.M., Mirabolfathi, M. & Kafi, M. 2010. Pathogenicity of three *Pythium* species isolates on turfgrass in Tehran province. *Journal of Plant Protection* 24(1): 20–28.
- Lévesque, C.A. & de Cock, A.W.A.M. 2004. Molecular phylogeny and taxonomy of the genus *Pythium*. *Mycological Research* 108(12): 1363–1383.
- Marano, A.V., Jesus, A.L., de Souza, J.I., Jeronimo, G.H., Goncalves, D.R., Boro, M.C., Rocha, S.C.O. & Pires-Zottarelli, C.L.A. 2015. Ecological roles of saprotrophic Peronosporales (Oomycetes, Straminipila) in natural environments. *Fungal Ecology* 19: 77–88.
- Marano, A.V., Jesus, A.L., De Souza, J.I., Leâno, E.M., James, T.Y., Jerônimo, G.H., de Cock, A.W.A.M. & Pires-Zottarelli, C.L.A. 2014. A new combination in *Phytopythium*: *P. kandeliae* (Oomycetes, Straminipila). *Mycosphere* 5: 510–522.
- Mirabolfathy, M. & Ershad, D. 1996. Studies on the conifer damping-off in the forest nurseries of northern and central Iran. *Iranian Journal of Plant Pathology* 32: 16–26.
- Mirabolfathy, M. & Ershad, D. 1997. Occurrence of root and stem rot of *Pinus eldarica* in Tehran. *Iranian Journal of Plant Pathology* 33: 220–221.
- Mirabolfathy, M. & Ershad, D. 1998. *Phytophthora* root and stem rot of several ornamental plants in central and northern provinces of Iran. *Iranian Journal of Plant Pathology* 34: 47–55.
- Mostowfizadeh-Ghalamfarsa, R. 2016. *Pythium* Species in Iran. Shiraz University Press, 230 pp, Shiraz, Iran.
- Mostowfizadeh-Ghalamfarsa, R. & Banihashemi, Z. 2005. Identification of soil *Pythium* species in Fars province of Iran. *Iranian Journal of Science and Technology* 29(A1): 79–87.
- Nakagiri, A., Tokumasu, S., Araki, H., Koreeda, S. & Tubaki, K. 1989. Succession of fungi in decomposing mangrove leaves in Japan, pp. 297–301. In: Recent Advances in Microbial Ecology (Hattori, T., Ishida, Y., Maruyama, Y., Morita, R. & Uchida, A., eds). Japan Scientific Society Press, Tokyo, Japan.
- Nigrelli, L. & Thines, M. 2013. Tropical Oomycetes in the German bright climate warming or overlooked diversity? *Fungal Ecology* 6: 152–160.
- Ranjbaran, M., Alizadeh, A. & Safaie, N. 2006. Genetic diversity of Iranian populations of *Phytophthora nicotianae* using RAPD and ISSR markers. *Iranian Journal of Plant Pathology* 42: 619–638.
- Salmaninezhad, F. & Mostowfizadeh-Ghalamfarsa, R. 2017a. Taxonomy, phylogeny and pathogenicity of *Pythium* species in rice paddy fields of Fars Province. *Iranian Journal of Plant Pathology* 53(1): 31–50.
- Salmaninezhad, F. & Mostowfizadeh-Ghalamfarsa, R. 2017b. Phylogeny of *Phytophthora* and

-
- Phytopythium* species associated with rice in Fars province (Iran). Rostaniha 18(1): 1–15.
- Tan, K.H. 1996. Soil Sampling, Preparation and Analysis. Marcel Dekker Inc., 408 pp., New York, USA.
- Tuit, J. 1969. Plant Pathological Methods. Burgess Publishing Co., 293 pp., USA.
- Uzuhashi, S., Tojo, M., & Kakishima, M. 2010. Phylogeny of the genus *Pythium* and description of new genera. Mycoscience 51: 337–365.
- Plaats-Niterink, A.J. van der. 1981. Monograph of the Genus *Pythium*. Studies in Mycology. No. 21. Centraalbureau voor Schimmelcultures, The Netherlands.
- Yang, X., Tyler, B.M. & Hong, C. 2017. An expanded phylogeny for the genus *Phytophthora*. IMA Fungus 8(2): 355–384.

ROSTANIHA